

чает волне, распространяющейся с замороженной скоростью звука. В последней относительное течение среды дозвуковое, а $\tilde{\omega}/\omega_0 \approx 8$, $\tilde{a} = 113p_0$.

В диапазоне скоростей ($c_e(p_0)$, $c_f(p_0)$) стационарные возмущения являются солитонами, для которых дисперсионное соотношение вырождается в нелинейную зависимость между скоростью и амплитудой. Для сравнения линией 1 показана дисперсионная зависимость (2).

В заключение автор благодарит В. К. Кедринского за внимание к работе и обсуждение результатов.

ЛИТЕРАТУРА

- Губайдуллин А. А., Ивандаев А. И., Нигматулин Р. И., Хабсев Н. С. Волны в жидкостях с пузырьками // Итоги науки и техники. Механика жидкости и газа.— М.: ВИНИТИ, 1982.— Т. 17.
- Плаксин С. И. О стационарных решениях уравнений движения жидкости с пузырьками газа // ПМТФ.— 1983.— № 1.
- Ляпидевский В. Ю., Плаксин С. И. Структура ударных волн в газожидкостной среде с нелинейным уравнением состояния // Динамика сплошной среды.— Новосибирск: ИГ СО АН СССР, 1983.— Вып. 62.
- Бхатнагар П. Нелинейные волны в одномерных дисперсных системах.— М.: Мир, 1983.
- Уизем Дж. Линейные и нелинейные волны.— М.: Мир, 1977.

Поступила 18/V 1987 г.

УДК 532.517.6.013.4

УСТОЙЧИВОСТЬ НЕИЗОТЕРМИЧЕСКОЙ ЗАПЫЛЕННОЙ ГАЗОВОЙ СТРУИ

Е. П. Курочкина, М. П. Стронгин

(Новосибирск)

Интерес к моделированию поведения газодисперсных потоков с сильными градиентами параметров существенно усилился в последние годы, с одной стороны, из-за все возрастающего числа практических приложений потоков, в частности, в химической технологии и в проблеме охраны окружающей среды (распространение аэрозолей), а с другой — из-за возрастающих возможностей расчета таких течений. Особое место занимает здесь проблема устойчивости подобных потоков, решение которой позволяет в ряде случаев получить оценки критических параметров перехода ламинарного течения в турбулентное. Расчеты устойчивости, проведенные для запыленных изотермических газовых потоков [1—3], показали возможности существенной стабилизации течения частицами (критические числа Рейнольдса могут возрасти при определенных условиях на несколько порядков величины). Однако расчеты устойчивости термически стратифицированных потоков с примесью дисперсной фазы в настоящее время отсутствуют, хотя имеют, пожалуй, большее практическое значение. В данной работе рассматривается устойчивость плоской газопылевой струи с температурой, существенно отличной от температуры среды, в которой течет эта струя.

Течение затопленной вязкой неизотермической газодисперсной струи описывается системой уравнений Навье — Стокса с учетом взаимодействия газ — частицы, моделируемого членом типа стоксовской силы. Как отмечалось в [1—3], важным параметром является $\beta = \tau/\tau_0$, где $\tau = L/(U_m \alpha C)$ (L и U_m — характерные масштабы длины и скорости струи, α и C — волновое число и фазовая скорость возмущений), а $\tau_0 = \rho_0 d^2 / (18 \mu_g)$ — время стоксовской релаксации относительной скорости частиц (ρ_0 — плотность материала частиц, d — диаметр частицы, μ_g — вязкость газа). Обычно в реальных запыленных потоках реализуется случай $\beta \ll 1$. В качестве иллюстрации можно провести следующие оценки. Для частиц диаметром 10^{-4} м с плотностью $\rho_0 \approx 10^4$ кг/м³ и при вязкости горячего воздуха $\mu_g \approx 2 \cdot 10^{-5}$ кг/(м·с) время релаксации составляет $\tau_0 \approx 5/18$ с. В то же время для типичных масштабов струй $L \approx 10^{-2}$ м, $U_m \approx 2 \cdot 10^2$ м/с, $\alpha C \approx 10^{-2}$ (из результатов данной работы) $\tau \approx 5 \cdot 10^{-3}$ с, а $\beta \approx 18 \cdot 10^{-3}$. Таким образом, характерные пульсационные скорости частиц существенно меньше пульсационной скорости газа. Поэтому при проводимом здесь анализе устойчивости возмущением частиц можно пре-

небречь. Так как параметр $\beta_1 = 18\rho_g L^2/(\rho_0 \text{Re} d^2)$ зависит от числа Рейнольдса $\text{Re} = LU_m/v_g$ ($v_g^{-1} = \rho_g/\mu_g$, ρ_g — плотность газа), то его неудобно использовать как независимый (в [2—4] β_1 задавалось, что привело к очевидным трудностям при расчете нейтральных кривых с $\beta_1 \ll 1$). В качестве характерного параметра в данной работе берется $A = 18\delta(L/d)^2$ (δ — объемная концентрация частиц). Для приведенных выше параметров $18(L/d) \approx 1,8 \cdot 10^6$ и при изменении δ от 10^{-5} до 10^{-2} A может увеличиться от 1,8 до $1,8 \cdot 10^3$.

Исходя из уравнений Навье — Стокса для неизотермического течения и используя закон Стокса для описания влияния частиц на течение газа, можно получить следующую систему уравнений:

$$\begin{aligned} \rho \frac{dU}{dt} &= -\frac{\partial P}{\partial x} + \frac{2}{\text{Re}_+} \frac{\partial}{\partial x} \left[\mu \left(\frac{\partial U}{\partial x} + \frac{\partial V}{\partial y} \right) \right] - \\ &\quad - \frac{2}{3\text{Re}_+} \frac{\partial}{\partial x} \left[\mu \left(\frac{\partial U}{\partial x} + \frac{\partial V}{\partial y} \right) \right] + \frac{An\mu}{\text{Re}_+} (U - U_0), \\ \rho \frac{dV}{dt} &= -\frac{\partial P}{\partial y} + \frac{2}{\text{Re}_-} \frac{\partial}{\partial y} \left[\mu \left(\frac{\partial V}{\partial y} + \frac{\partial U}{\partial x} \right) \right] + \frac{1}{\text{Re}_-} \frac{\partial}{\partial x} \left[\mu \left(\frac{\partial U}{\partial y} + \frac{\partial V}{\partial x} \right) \right] - \\ &\quad - \frac{2}{3\text{Re}_-} \frac{\partial}{\partial y} \left[\mu \left(\frac{\partial U}{\partial x} + \frac{\partial V}{\partial y} \right) \right] + \frac{An\mu}{\text{Re}_-} (V - V_0), \\ \frac{\partial \rho}{\partial t} + \frac{\partial (\rho U)}{\partial x} + \frac{\partial (\rho V)}{\partial y} &= 0. \end{aligned}$$

Здесь и ниже U , V и x , y — продольные, поперечные скорости и координаты; P — давление; n — распределение концентрации частиц; $\rho = \rho_g/\rho_{g-}$; $\mu = \mu_g/\mu_{g-}$; $\text{Re}_+ = LU_m/v_{g+}$; индекс плюс соответствует значению параметров на оси струи, минус — на бесконечности по координате y , нуль — скорости частиц. В плоскопараллельном приближении исследуется устойчивость стационарных решений этой системы. Поля скорости, температуры и концентрации считаются заданными и зависящими от y . Для поля скорости принимаются зависимости: ступенчатого типа, соответствующие начальному участку струи, и автомодельного типа:

- (1) $U_1 = 1$, $|y| < 1$; $U_1 = 0$, $|y| \geqslant 1$;
- (2) $U_1 = \{1 + \text{th}[(1 - |y|)/\theta]\}/2$, $\theta \ll 1$, $-\infty < y < +\infty$;
- (3) $U_1 = 1 - \text{th}^2 y$, $-\infty < y < +\infty$,

а $T(y) = sU_1(y) + 1$, $n(y) = -U_1(y)$. Параметр s варьируется от 0 до $-0,9$ (холодное течение) и от 0 до 10 (горячее), при $s = 0$ течение изотермическое. Считается, что плотность обратно пропорциональна температуре, а для вязкости используется зависимость $\mu = \sqrt{T}$. Пренебрегается пульсациями температуры и концентрации частиц.

С помощью метода малых возмущений [5] получается система уравнений

$$(4) \quad i\alpha \text{Re}_- \rho (U_1 - C) u + \rho \text{Re}_- U'_1 v = -i\alpha \text{Re}_- p - 4\alpha^2 \mu u/3 - 2i\alpha \mu v'/3 + i\alpha (\mu v)' + (\mu u)' + An\mu u;$$

$$(5) \quad i\alpha \text{Re}_- \rho (U_1 - C) v = -\text{Re}_- p' - \alpha^2 \mu v - 2i\alpha (\mu u)'/3 + i\alpha \mu u' + 4(\mu v')/3 + An\mu v;$$

$$(6) \quad i\alpha \rho u + (\rho v)' = 0,$$

где $u(y)$, $v(y)$, $p(y)$ — амплитуды возмущений скоростей и давления. Рассматриваются симметричные на оси и затухающие на бесконечности решения. Математическая формулировка этих условий приводится ниже. Критическое число Рейнольдса Re_* находится как минимум $\text{Re}_* = \text{Re}_- \rho_+ / \mu_+$ для нейтральных возмущений. В силу симметрии задачи можно ограничиться положительными y . Устойчивость однофазного изотер-

мического течения для (1) исследована в [6], а двухфазного для (2), (3) — в [1, 7, 8].

Для профиля (1) система (4)–(6) имеет кусочно-постоянные коэффициенты. Область по y можно разбить на две подобласти ($0 \leq y < 1$) и $1 \leq y < +\infty$) и в каждой записать аналитическое решение. Из-за наличия разрывов у функций U_1 и ρ , μ анализ системы (4)–(6) затруднителен. Поэтому сначала, согласно законам сохранения массы и потоков импульса, вводятся новые переменные: $\varphi = \rho v$ (используется (6)), $q = 4\mu v'/3 - 2i\alpha\mu/3 - \text{Re}_p$ (из уравнения (5)) и $w = \text{Re}_- U_1 \varphi + i\alpha\mu/3 - \mu v'$. При определении w применяются (4) и соотношение $\mu v' = 2(\mu v')/3 - i\alpha\mu/3$, которое следует из принятых зависимостей плотности и вязкости от температуры. Новые переменные непрерывны и для разрывных профилей U_1 и T .

Система (4)–(6) в новых переменных имеет вид (переменная u остается без изменения)

$$(7) \quad \begin{aligned} u' &= [\text{Re}_- U_1 / \mu + i\alpha/(3\rho)]\varphi - w/\mu, \\ q' &= [4\alpha^2\mu/(3\rho) - i\alpha\text{Re}_- C - An\mu/\rho]\varphi + i\alpha w, \\ \varphi' &= -i\alpha\rho u, \\ w' &= [i\alpha\text{Re}_- \rho(C - 2U_1) - 8\alpha^2\mu/3 + An\mu]u + i\alpha q. \end{aligned}$$

Ищется решение, затухающее на бесконечности и симметричное в нуле по функциям φ и w :

$$\begin{aligned} u_+ &= c_1 \operatorname{sh}(\alpha y) + c_2 \operatorname{sh}(\kappa y), \\ q_+ &= -i(\alpha + \kappa^2/\alpha)\mu_+ c_1 \operatorname{sh}^2(\alpha y) - 2i\alpha\mu_+ c_2 \operatorname{sh}(\kappa y), \\ \varphi_+ &= -i\rho_+ c_1 \operatorname{ch}(\alpha y) - i\alpha\rho_+ c_2 \operatorname{ch}(\kappa y)/\kappa, \\ w_+ &= -(i\text{Re}_- \rho_+ + 2\alpha\mu_+/3)c_1 \operatorname{ch}(\alpha y) + \\ &+ (\alpha^2\mu_+/3 - \kappa^2\mu_+ - i\alpha \text{Re}_- \rho_+)c_2 \operatorname{ch}(\kappa y)/\kappa \end{aligned}$$

(где $0 \leq y < 1$, $\kappa^2 = \alpha^2 + i\alpha\text{Re}_-(1 - C)\rho_+/\mu_+ - A$), $u_- = c_3 \exp(-\alpha y) + c_4 \exp(-\gamma y)$, $q_- = -(\text{Re}_- C + 2i\alpha)c_3 \exp(-\alpha y) - 2i\alpha c_4 \exp(-\gamma y)$, $\varphi_- = ic_3 \exp(-\alpha y) + i\alpha c_4 \exp(-\gamma y)/\gamma$, $w_- = 2\alpha c_3 \exp(-\alpha y)/3 + [\gamma - \alpha^2/(3\gamma)]c_4 \exp(-\gamma y)$ ($1 \leq y < +\infty$, $\gamma^2 = \alpha^2 - i\alpha\text{Re}_- C$). Условия непрерывности u , q , φ и w в точке $y = 1$ приводят к системе

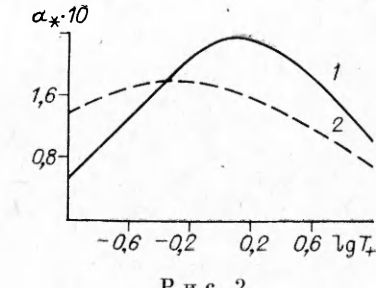
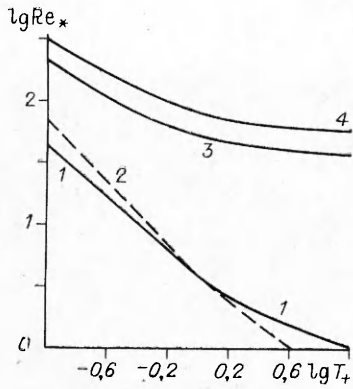
$$(8) \quad \begin{aligned} F_{cm} &= 0, \\ F &= \begin{pmatrix} \operatorname{sh} \alpha & \operatorname{sh} \kappa & -\exp(-\alpha) & -\exp(-\gamma) \\ F_{21} & F_{22} & F_{23} & 2i\alpha \exp(-\gamma) \\ -i\rho_+ \operatorname{ch} \alpha & F_{32} & -i \exp(-\alpha) & -i\alpha \exp(-\gamma)/\gamma \\ F_{41} & F_{42} & -2\alpha \exp(-\alpha)/3 & F_{44} \end{pmatrix}, \\ F_{21} &= -i(\alpha + \kappa^2/\alpha)\mu_+ \operatorname{sh} \alpha, F_{22} = -2i\alpha\mu_+ \operatorname{sh} \kappa, \\ F_{23} &= (\text{Re}_- C + 2i\alpha) \exp(-\alpha), F_{32} = -i\alpha\rho_+ \operatorname{ch} \kappa/\kappa, \\ F_{41} &= -(2\alpha\mu_+/3 + i\text{Re}_- \rho_+) \operatorname{ch} \alpha, F_{42} = (\alpha^2\mu_+/3 - \kappa^2\mu_+ - i\alpha \text{Re}_- \rho_+) \operatorname{ch} \kappa/\kappa, \\ F_{44} &= [\alpha^2/(3\gamma) - \gamma] \exp(-\gamma), c_m = (c_1, c_2, c_3, c_4)^\top. \end{aligned}$$

Для нетривиальной разрешимости (8) необходимо выполнение условия

$$(9) \quad \det ||F|| = 0.$$

Посредством решения (9) методом секущих строится пейтранальная кривая относительно Re_+ и находится Re_* .

Для профилей (2), (3) система (7) разрешается только численно. Использование системы (4)–(6) приводит к значительному увеличению трудностей при численной реализации из-за наличия коэффициентов с сильными градиентами (\sim производной от быстременяющихся функций). Для численного расчета в данной работе используются метод Кран-



Р и с. 1

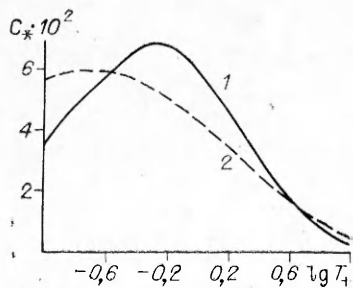
Р и с. 2

ка — Николсона и встречная прогонка. Поскольку при $y \rightarrow \infty$ $U_1(y)$, $T(y)$ и $n(y)$ стремятся к нулю, условия затухания могут быть сведены к следующим: $u = [(\gamma^2 - \alpha^2/3 - 2\alpha\gamma/3)\varphi + i(\gamma - \alpha)w]/(\alpha Re_C)$, $q = \{[(\alpha^2/3 - \gamma^2)(2i\alpha + Re_C) + 4i\alpha^2\gamma/3]\varphi - (\gamma - \alpha)^2w\}/(\alpha Re_C)$. Причем для (2) условия затухания можно поставить при $y = 2$, а для (3) — при $y = 6$.

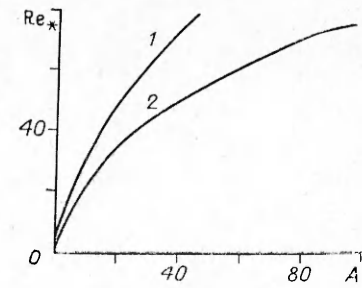
На рис. 1 (кривые 1, 2) приведены результаты расчетов для однофазных термически стратифицированных струй ($A = 0$). Значения Re_* горячего потока уменьшаются (кривая 1 соответствует (1), (2), а 2 — (3)), струя дестабилизируется. При восьмикратном перегреве замедляется процесс для (1), (2) и Re_* слабее зависит от перегрева. Оказывается, что горячие струи с автомодельным профилем (3) менее устойчивы и дестабилизация замедляется при гораздо более сильном перегреве. В холодной струе происходит степенной (по T_+) рост значений Re_* ($Re_* \sim T_+^{-1}$ для (3) и $Re_* \sim T_+^{-0.83}$ для (1), (2)). Причем течение с профилем (3) более устойчиво, чем с профилями (1), (2) для $lg T_+ < 0$.

Для неизотермических потоков обнаружено интересное поведение критических волновых чисел (рис. 2). Они имеют максимум, который для профилей ступенчатого типа (1), (2) находится в перегретой области (кривая 1), а для (3) смешен в холодную (кривая 2). Критические фазовые скорости C_* также имеют максимум (рис. 3), но поведение их более сложно (кривая 1 соответствует (1), (2), а 2 — (3)). Для изучения влияния переменности теплофизических свойств течений на Re_* проведены расчеты с постоянными ρ и μ . Показано, что наибольшее влияние на Re_* оказывает изменение плотности, что вполне естественно, поскольку она сильнее зависит от температуры.

Результаты исследований для двухфазных струй с профилем (1) представлены на рис. 1 (линии 3, 4) и рис. 4. Так как горячие струи менее стабильны по сравнению с изотермическими или холодными, рассматриваются горячие газопылевые течения. При $T_+ = 11$ получена зависимость Re_* от параметра A (рис. 4, кривая 2), пропорционального объемной концентрации частиц. Для $A > 30$ наблюдается линейная зависимость Re_* от A ($Re_* = 0.5A + 32$), но стабилизация гораздо слабее, чем в изотермическом случае (кривая 1). На рис. 1 (линии 3, 4) приведены



Р и с. 3



Р и с. 4

зависимости Re_* от T_+ для различных A (линии 3, 4 отвечают $A = 23$ и 50). Уже при семикратном перегреве Re_* очень слабо меняется. Проведенные расчеты для профилей (1) и (2) практически совпадают. Поскольку при расчете их устойчивости использовались различные методы, это обеспечило взаимный контроль.

Таким образом, с ростом концентрации частиц наблюдается стабилизация потока. Нагрев струи определенным образом (рис. 1, кривые 3, 4, рис. 4, кривая 2) гасит эффект стабилизации, не нерушая, однако, линейной зависимости Re_* от A , т. е., как и в изотермическом случае, показана возможность значительной стабилизации струи частицами (Re_* могут увеличиться на несколько порядков величины). Кроме того, отмечена большая устойчивость сильно перегретой струи со ступенчатым профилем по сравнению со струей с автомодельным профилем, в то время как в изотермическом случае значения Re_* совпадают.

Авторы признательны В. Н. Штерну за полезные консультации и замечания.

ЛИТЕРАТУРА

1. Курочкина Е. П., Стронгин М. П. Нелинейная устойчивость двухфазных струй // Изв. АН СССР. МЖГ.— 1985.— № 3.
2. Saffman P. G. On the stability of laminar flow of a dusty gas // J. Fluid Mech.— 1962.— V. 13, N 1.
3. Michael D. H. The stability of plane Poiseuille flow of a dusty gas // J. Fluid Mech.— 1964.— V. 18, N 1.
4. Нармуратов Ч. Б., Соловьев А. С. О влиянии взвешенных частиц на устойчивость плоского течения Пуазейля // Изв. АН СССР. МЖГ.— 1986.— № 1.
5. Гольдштак М. А., Штерн В. Н. Гидродинамическая устойчивость и турбулентность.— Новосибирск: Наука, 1977.
6. Курочкина Е. П. Смена режима в плоской струе со ступенчатым профилем скорости // ПМТФ.— 1984.— № 6.
7. Курочкина Е. П. Устойчивость и ветвление плоских двухфазных струйных течений // Устойчивость и турбулентность.— Новосибирск: ИТФ СО АН СССР, 1985.
8. Курочкина Е. П. Расчет нелинейной устойчивости двухфазных течений // Турбулентные двухфазные течения и техника эксперимента.— Таллин: Ин-т термофизики и электрофизики АН ЭССР, 1985.— Ч. 2.

Поступила 16/VI 1987 г.

УДК 536.25

О ГИДРОХИМИЧЕСКОЙ УСТОЙЧИВОСТИ КАПЛИ ПРИ МАССПЕРЕНОСЕ ПОВЕРХНОСТНО-АКТИВНЫХ ВЕЩЕСТВ

А. А. Головин, Л. М. Рабинович
(Москва)

Известно, что массоперенос веществ, способных существенно изменять поверхностное напряжение, и межфазная химическая реакция могут приводить к возникновению градиентов поверхностного напряжения. Эти градиенты в результате эффекта Марангона [1] способны вызывать неустойчивость поверхности раздела фаз и приводить к образованию приповерхностных конвективных структур, а также к развитию в объемах фаз межфазной конвекции и турбулентности [2]. Исследование гидродинамической устойчивости жидкой реагирующей капли, окруженной газом или другой несмешивающейся жидкостью, представляет особый интерес в связи с проблемой интенсификации процессов массопереноса при хемосорбции газов и жидкостной экстракции, сопровождающейся химическими реакциями [3].

Задача об устойчивости сферической границы раздела фаз (поверхности капли или пузыря) при наличии поверхностных реакций и переноса поверхностно-активных веществ (ПАВ) в наиболее общем виде поставлена в [4, 5]. В [4] приведен линейный анализ устойчивости стационарного состояния, учитывавшего произвольное число реагирующих веществ и химические реакции на поверхности, зависимость скорости которых от концентрации описывается произвольной функцией, получено дисперсионное уравнение и проведен его анализ в приближении малых капель для одного реагирующего вещества. При этом подробно рассматривалась деформационная устойчивость поверхности капли. Результаты этой работы обобщены в [5], где при условии локального адсорбционного равновесия между поверхностью раздела и примыкающими слоями жидкости учитывалась конвективная диффузия реагентов в объемах фаз.